

**КРУЧЕНИЕ ДВУХСЛОЙНОЙ УПРУГОЙ СРЕДЫ
С ПЛОСКОЙ ЩЕЛЬЮ ИЛИ ЖЕСТКИМ ВКЛЮЧЕНИЕМ**

Д. В. ГРИЛИЦКИЙ, А. П. ПОДДУБНЯК

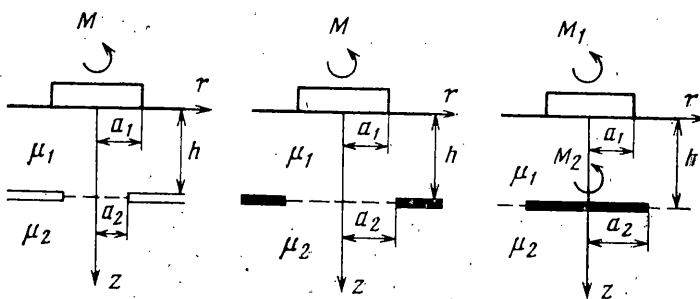
(Львов)

Кручение двухслойной упругой среды без внутренних дефектов рассматривалось в работах [1, 2]. Влияние щели на напряженное состояние упругого тела при кручении учитывалось в публикациях [3–8], а наличие неплоских включений исследовалось в работах [9–11].

Здесь изучается осесимметричная задача о кручении двухслойной среды плоским круглым штампом при наличии полного сцепления между штампом и упругим телом. Среда представляется в виде упругого слоя, спаянного с упругим полупространством, материалы которых различны. В плоскости сопряжения слоя и полупространства соосно к штампу расположены внешняя щель (задача А), или внешнее жесткое включение (задача В), либо же круглое внутреннее жесткое включение — шайба (задача С).

С помощью интегрального преобразования Ханкеля задача сводится к системе парных интегральных уравнений, которые приводятся к системе интегральных уравнений Фредгольма второго рода. Решение исследуется при небольших отношениях радиусов штампа и перемычки или шайбы к толщине слоя.

1. Рассмотрим двухслойную упругую среду $z \geq 0$, состоящую из слоя $0 \leq z \leq h$ и полупространства $z \geq h$. Пусть в плоскости сопряжения материалов с упругими постоянными μ_1 и μ_2 имеется внешняя плоская щель, свободная от усилий, или внешнее жесткое плоское включение, либо внутреннее круглое жесткое включение (шайба). Пусть данная двухслойная среда



Фиг. 1

подвергается упругому кручению при помощи плоского круглого штампа, спаянного с упругим телом соосно со щелью или с включениями. Предполагается, что поверхность среды вне штампа свободна от внешних напряжений. Таким образом, имеются три различные смешанные задачи — А, В, С (фиг. 1).

В случае задачи С считаем, что к шайбе также приложен внешний крутящий момент.

Требуется определить компонент вектора смещения $u_\theta(r, z)$, исчезающий при $r, z \rightarrow \infty$ и удовлетворяющий дифференциальному уравнению

равновесия Мичелла [12]

$$(1.1) \quad \frac{\partial^2 u_\theta}{\partial r^2} + \frac{1}{r} \frac{\partial u_\theta}{\partial r} - \frac{u_\theta}{r^2} + \frac{\partial^2 u_\theta}{\partial z^2} = 0$$

$$u_\theta(r, z) = u(r, z) = \begin{cases} u_1(r, z) & (0 \leq z < h) \\ u_2(r, z) & (h \leq z < \infty) \end{cases}$$

при граничных условиях и условиях сопряжения

$$(1.2) \quad u_i = \varepsilon_1 r \quad (0 \leq r < a_1) \quad \text{задачи A, B, C } (z=0)$$

$$\tau_{\theta z}^{(1)} = 0 \quad (r > a_1)$$

$$(1.3) \quad u_i = u_2, \quad \tau_{\theta z}^{(1)} = \tau_{\theta z}^{(2)} \quad (0 \leq r < a_2) \quad \text{задача A } (z=h)$$

$$\tau_{\theta z}^{(1)} = \tau_{\theta z}^{(2)} = 0 \quad (r > a_2)$$

$$(1.4) \quad u_i = u_2, \quad \tau_{\theta z}^{(1)} = \tau_{\theta z}^{(2)} \quad (0 \leq r < a_2) \quad \text{задача B } (z=h)$$

$$u_i = u_2 = 0 \quad (r > a_2)$$

$$(1.5) \quad u_i = u_2 = \varepsilon_2 r \quad (0 \leq r < a_2) \quad \text{задача C } (z=h)$$

$$u_i = u_2, \quad \tau_{\theta z}^{(1)} = \tau_{\theta z}^{(2)} \quad (r > a_2)$$

Здесь ε_1 — угол поворота штампа ($\varepsilon_1 = \varepsilon$ в задачах А, В), ε_2 — угол поворота шайбы в задаче С. Напряжения выражаются через перемещения по формулам

$$(1.6) \quad \tau_{\theta z}^{(i)}(r, z) = \mu_i \frac{\partial u_i(r, z)}{\partial z}, \quad \tau_{rz}^{(i)}(r, z) = \mu_i r \frac{\partial}{\partial r} \left[\frac{u_i(r, z)}{r} \right] \quad (i=1, 2)$$

Используя интегральное преобразование Ханкеля, решение уравнения (1.1) получим в виде [13]

$$(1.7) \quad u_i(r, z) = \int_0^\infty p [\delta_{ii} A(p) e^{pz} + B_i(p) e^{-pz}] J_i(pr) dp \quad (i=1, 2)$$

где $J_v(pr)$ — функция Бесселя первого рода v -го порядка, δ_{ij} — символ Кронекера, $A(p)$, $B_1(p)$, $B_2(p)$ — произвольные функции.

2. Задача А. Введем новые функции φ_1 и φ_2 с помощью соотношений [14]

$$(2.1) \quad \mu_1 p [A(p) - B_1(p)] = \int_0^{a_1} \varphi_1(t) \sin pt dt$$

$$(2.2) \quad \mu_2 p B_2(p) e^{-ph} = \int_0^{a_2} \varphi_2(t) \sin pt dt$$

Границные условия (1.2) и (1.3) приводят к системе парных интегральных уравнений, которые в свою очередь можно привести к системе интегральных уравнений типа Абеля. Обращая последнюю, получим ин-

тегральные уравнения Фредгольма второго рода относительно функций φ_1 и φ_2 [15, 14]

$$(2.3) \quad \varphi_i(x) + \sum_{j=1}^2 \int_0^{a_j} K_{ij}(x, t) \varphi_j(t) dt = -\frac{4}{\pi} \varepsilon \mu_i x \delta_{ii} \quad (0 \leq x \leq a_i) \quad (i=1, 2)$$

с ядрами

$$K_{ij}(x, t) = \frac{2}{\pi} (1 - \beta_1 \delta_{i2}) \int_0^\infty \frac{\exp(-\delta_{ij} ph)}{\sinh ph} \sin px \sin pt dp$$

$$\beta_i = \mu_i / (\mu_1 + \mu_2) \quad (i=1, 2), \quad \beta = \beta_1 - \beta_2$$

Для решения системы интегральных уравнений (2.3) применим метод последовательных приближений. В итоге получим следующий результат:

$$(2.4) \quad \varphi_i(x) = \frac{4}{\pi} \varepsilon \mu_i a_i [(-1)^i - \delta_{i2} \beta_1] \sum_{m=1, 3, 5} \left(\frac{x}{a_i} \right)^m \varphi_{i,m} \quad (0 \leq x \leq a_i) \quad (i=1, 2)$$

$$\begin{aligned} \varphi_{1,1} &= 1 - 0.1275 \delta_1^3 + 0.0330 \delta_1^5 + 0.0162 (\delta_1^6 + 49 \beta_2 \delta_1^3 \delta_2^3) - \\ &- 0.0085 \delta_1^7 + o(\delta_1^9) \\ \varphi_{1,3} &= 0.0550 \delta_1^5 - 0.0401 \delta_1^7 + o(\delta_1^9), \quad \varphi_{1,5} = -0.0201 \delta_1^7 + o(\delta_1^9) \\ \varphi_{2,1} &= 0.8925 \delta_1^3 - 0.1023 \delta_1^5 - 0.1134 (\delta_1^6 + \beta_2 \delta_1^3 \delta_2^3) + 1.079 \delta_1^7 + o(\delta_1^9) \\ \varphi_{2,3} &= (-0.1705 \delta_1^3 + 5.093 \delta_1^5) \delta_2^2 + o(\delta_1^9), \quad \varphi_{2,5} = \\ &= 2.553 \delta_1^3 \delta_2^4 + o(\delta_1^9) \\ \varphi_{i,m} &= o(\delta_1^8) \quad (m \geq 7), \quad \delta_1 = a_1/h, \quad \delta_2 = a_2/h, \quad \delta = \max \{ \delta_1, \delta_2 \} \end{aligned}$$

Для равномерной сходимости решения (2.4) к точному при $m \rightarrow \infty$ достаточно, чтобы δ_1 и δ_2 удовлетворяли неравенству [15]

$$(2.5) \quad 0 < B < 1$$

$$B = \frac{\zeta(3)}{\pi} [(1 + 49 \beta_2^2) \delta_1^6 + (49 + \beta_2^2) \delta_2^6]^{1/2}$$

где $\zeta(x)$ — ζ -функция Римана. Если $\delta_1 = \delta_2 = \delta$, то $\delta < 0.639$.

Если ограничиться вторым приближением, то решение (2.4) следует рассматривать при $m \leq 5$. Относительная погрешность такого решения выражается неравенством

$$(2.6) \quad \Delta_i \leq \frac{C_i}{\sqrt{3}} \frac{B^2}{1-B} \sup_{\{0 \leq \xi \leq 1\}} \left[\frac{1}{\omega_i(\xi)} \right] \quad (i=1, 2)$$

$$\omega_i(\xi) = \sum_{m=1, 3, 5} \xi^{m-1} \varphi_{i,m}, \quad C_1 = \frac{\zeta(3)}{\pi} \sqrt{\delta_1^6 + 49 \delta_2^6}, \quad C_2 = \frac{\zeta(3)}{\pi} \beta_2 \sqrt{49 \delta_1^6 + \delta_2^6}$$

Приведем формулы для касательных напряжений $\tau_{\theta z}$ под штампом и в плоскости щели

$$\tau_{\theta z}(\rho, 0) = -\frac{4\varepsilon \mu_1 \rho}{\pi \sqrt{1-\rho^2}} \left[\varphi_{1,1} - (1-2\rho^2) \varphi_{1,3} - \frac{1}{3} (1+4\rho^2-8\rho^4) \varphi_{1,5} \right]$$

$$\left(\rho = \frac{r}{a_1} \leq 1 \right)$$

$$\tau_{\theta z}(\rho, h) = -\frac{4\epsilon \mu_1 \beta_2 \rho}{\pi \sqrt{1-\rho^2}} \left[\varphi_{2,1} - (1-2\rho^2) \varphi_{2,3} - \frac{1}{3} (1+4\rho^2-8\rho^4) \varphi_{2,5} \right]$$

$$\left(\rho = \frac{r}{a_2} < 1 \right)$$

$$\epsilon = \frac{M}{16\mu_1 a_1^3} \left[\sum_{m=1,3,5} \frac{\varphi_{1,m}}{(m+2)} \right]^{-1} = \frac{M}{16\mu_1 a_1^3} \left[\frac{1}{3} - 0.0425 \delta_1^3 + \right.$$

$$\left. + 0.0220 \delta_1^5 + 0.0054 (\delta_1^6 + 49\beta_2 \delta_1^3 \delta_2^3) - 0.0107 \delta_1^7 \right]^{-1}$$

Перемещения в плоскостях $z=0$ и $z=h$ определяются по формулам

$$u_1(\rho, 0) = \frac{2}{\pi} \epsilon a_1 \left\{ \left(\varphi_{1,1} + \frac{3}{4} \rho^2 \varphi_{1,3} + \frac{5}{8} \rho^4 \varphi_{1,5} \right) \rho \arcsin \frac{1}{\rho} - \right.$$

$$- \left[\varphi_{1,1} + \left(\frac{1}{2} + \frac{3}{4} \rho^2 \right) \varphi_{1,3} + \left(\frac{1}{3} + \frac{5}{12} \rho^2 + \frac{5}{8} \rho^4 \right) \varphi_{1,5} \right] \frac{\sqrt{1-\rho^2}}{\rho} +$$

$$+ 4\rho \left[\left(\frac{1}{3} \delta_1^3 - 0.0425 \delta_1^6 \right) U_{3,0}(y_1) - 0.4 \delta_1^5 U_{7,2}(y_1) - \right.$$

$$\left. - 0.297 \beta_2 \delta_1^3 \delta_2^3 U_{3,0} \left(y_1, \frac{1}{2} \right) \right] \left. \right\} \quad \left(\rho = \frac{r}{a_1} > 1 \right)$$

$$u_i(\rho, h) = \epsilon a_2 \beta_1 \rho \left(\varphi_{2,1} + \frac{3}{4} \rho^2 \varphi_{2,3} + \frac{5}{8} \rho^4 \varphi_{2,5} \right) \quad \left(\rho = \frac{r}{a_2} \leq 1 \right) \quad (i=1,2)$$

$$u_2(\rho, h) = \frac{2}{\pi} \epsilon a_2 \beta_1 \left\{ \left(\varphi_{2,1} + \frac{3}{4} \rho^2 \varphi_{2,3} + \frac{5}{8} \rho^4 \varphi_{2,5} \right) \rho \arcsin \frac{1}{\rho} - \right.$$

$$- \left[\varphi_{2,1} + \left(\frac{1}{2} + \frac{3}{4} \rho^2 \right) \varphi_{2,3} + \left(\frac{1}{3} + \frac{5}{12} \rho^2 + \frac{5}{8} \rho^4 \right) \varphi_{2,5} \right] \frac{\sqrt{1-\rho^2}}{\rho} \left. \right\} \quad \left(\rho = \frac{r}{a_2} \geq 1 \right)$$

$$u_1(\rho, h) = -\frac{\beta_2}{\beta_1} u_2(\rho, h) + \frac{8}{\pi} \epsilon a_2 \rho \left[\left(\frac{1}{3} \delta_1^3 - 0.0425 \delta_1^6 \right) U_{3,0} \left(y_2, \frac{1}{2} \right) - \right.$$

$$- 0.4 \delta_1^5 U_{7,2} \left(y_2, \frac{1}{2} \right) - 0.297 \beta_2 \delta_1^3 \delta_2^3 U_{3,0}(y_2) + 0.1 \rho^2 \delta_1^5 \delta_2^2 U_{7,0} \left(y_2, \frac{1}{2} \right) +$$

$$\left. + 0.423 \delta_1^7 U_{11,4} \left(y_2, \frac{1}{2} \right) \right] \quad \left(\rho = \frac{r}{a_2} > 1 \right)$$

$$U_{p,q}(x) = S_{p,q}(x, 1, 1), \quad U_{p,q} \left(x, \frac{1}{2} \right) = S_{p,q} \left(x, 1, -\frac{1}{2} \right)$$

$$S_{p,q} \left(x, \alpha, \frac{i}{2} \right) = \sum_{n=0}^{\infty} \frac{\alpha^n (2n+i)^q}{\sqrt{[(2n+i)^2 + x^2]^p}}, \quad y_i = \rho \delta_i \quad (i=1,2)$$

Касательные напряжения $\tau_{r\theta}$ нетрудно получить из (1.6).

Полученные результаты позволяют определить предельное значение момента кручения M (угла поворота ϵ) или радиус перемычки в случае подвижно-равновесного состояния трещины. Например, формула для вычисления радиуса перемычки a_2 подвижно-равновесной трещины имеет

вид: $a_2 = 32(Lh^3/M\beta_2)^2(0.139 - 0.035\delta_1^3 + 0.002\delta_1^2 + o(\delta_1^5))$ ($\beta_2 \neq 0$). Здесь L — постоянная, зависящая от свойств материалов [5].

3. Задача В. Используя известные результаты [16], получим следующую систему интегральных уравнений Фредгольма второго рода:

$$(3.1) \quad \psi_i(x) + \sum_{j=1}^2 \int_0^{a_j} L_{ij}(x, t) \psi_j(t) dt = -\frac{4}{\pi} \varepsilon \mu_1 x \delta_{i1} \quad (0 \leq x \leq a_i) \quad (i=1,2)$$

с ядрами

$$L_{ij}(x, t) = -[\delta_{i1} + (-1)^j \beta_1 \delta_{i2}] \sqrt{xt} \int_0^\infty \frac{\exp(-\delta_{ij} ph)}{\operatorname{ch} ph} p J_{i-\frac{1}{2}}(px) J_{j-\frac{1}{2}}(pt) dp$$

Пользуясь приближенным решением системы (3.1) при условии

$$(3.2) \quad 0 < B < 1$$

$$B = \left\{ \left[\left(\frac{2}{\pi} \ln 2 \right)^2 + \beta_1^2 \right] \delta_1^2 + \left[1 + \left(\frac{2}{\pi} \beta_1 \ln 2 \right)^2 \right] \delta_2^2 \right\}^{\frac{1}{2}}$$

напряжения и перемещения можно представить в виде

$$\tau_{\theta z}^{(1)}(\rho, 0) = \frac{4\varepsilon\mu_1\rho}{\pi\sqrt{1-\rho^2}} \left[\psi_{1,0} - (1-2\rho^2)\psi_{1,2} - \frac{1}{3}(1+4\rho^2-8\rho^4)\psi_{1,4} \right] \quad \left(\rho = \frac{r}{a_1} < 1 \right)$$

$$\tau_{\theta z}^{(i)}(\rho, h) = -\varepsilon\mu_1\beta_2\rho \left(3\psi_{2,0} + \frac{15}{4}\rho^2\psi_{2,2} + \frac{35}{8}\rho^4\psi_{2,4} \right) \quad (i=1,2) \quad \left(\rho = \frac{r}{a_2} \leq 1 \right)$$

$$\begin{aligned} \tau_{\theta z}^{(2)}(\rho, h) = & \\ = & \frac{4}{\pi} \varepsilon \mu_1 \beta_2 \left\{ \frac{1}{\rho^2(\rho^2-1)} \sum_{m=0,2,4} \psi_{2,m} - \frac{1}{2} \left(3\psi_{2,0} + \frac{15}{4}\rho^2\psi_{2,2} + \frac{35}{8}\rho^4\psi_{2,4} \right) \rho \arcsin \frac{1}{\rho} + \right. \\ & \left. + \frac{1}{2} \left[3\psi_{2,0} + \frac{5}{2} \left(1 + \frac{3}{2}\rho^2 \right) \psi_{2,2} + 7 \left(\frac{1}{3} + \frac{5}{12}\rho^2 + \frac{5}{8}\rho^4 \right) \psi_{2,4} \right] \frac{\sqrt{\rho^2-1}}{\rho} \right\} \\ & \left(\rho = \frac{r}{a_2} > 1 \right) \end{aligned}$$

$$\begin{aligned} \tau_{\theta z}^{(1)}(\rho, h) = & -\frac{\beta_1}{\beta_2} \tau_{\theta z}^{(2)}(\rho, h) - \frac{8}{\pi} \varepsilon \mu_1 \rho \left[(\delta_1^3 \delta_2 + 0.095 \delta_1^6 \delta_2) V_{5,1} \left(y_2, \frac{1}{2} \right) - \right. \\ & - 2\delta_1^5 \delta_2 V_{9,3} \left(y_2, \frac{1}{2} \right) + 3.02 \delta_1^7 \delta_2 V_{13,5} \left(y_2, \frac{1}{2} \right) + \\ & \left. + 1.5 \delta_1^5 \delta_2^3 \rho^2 V_{9,1} \left(y_2, \frac{1}{2} \right) \right] \quad \left(\rho = \frac{r}{a_2} > 1 \right) \end{aligned}$$

$$\begin{aligned} u_1(\rho, 0) = & \frac{2}{\pi} \varepsilon a_1 \left\{ \left(\psi_{1,0} + \frac{3}{4}\rho^2\psi_{1,2} + \frac{5}{8}\rho^4\psi_{1,4} \right) \rho \arcsin \frac{1}{\rho} - \right. \\ & - \left[\psi_{1,0} + \left(\frac{1}{2} + \frac{3}{4}\rho^2 \right) \psi_{1,2} + \left(\frac{1}{3} + \frac{5}{12}\rho^2 + \frac{5}{8}\rho^4 \right) \psi_{1,4} \right] \frac{\sqrt{\rho^2-1}}{\rho} - \\ & \left. - 4\rho \left[\left(\frac{1}{3} \delta_1^3 + 0.032 \delta_1^6 - 0.021 \delta_1^8 \right) V_{3,0}(y_1) - (0.4 \delta_1^5 + 0.017 \delta_1^8) V_{7,2}(y_1) - \right. \right. \end{aligned}$$

$$-0.168\beta_1\delta_1^3\delta_2^5V_{5,1}\left(y_1, \frac{1}{2}\right)\Big]\Big\} \quad \left(\rho = \frac{r}{a_1} > 1\right)$$

$$\begin{aligned} u_i(\rho, h) = & \frac{4}{\pi} \varepsilon \beta_1 a_2 \rho \left[\psi_{2,0} + \frac{1}{3} (1+2\rho^2) \psi_{2,2} + \right. \\ & + \frac{1}{5} \left(1 + \frac{4}{3} \rho^2 + \frac{8}{3} \rho^4 \right) \psi_{2,4} \Big] \sqrt{1-\rho^2} \quad (i=1,2) \\ \varepsilon = & \frac{M}{16\mu_1 a_1^3} \left[\sum_{m=0,2,4} \frac{\psi_{1,m}}{m+3} \right]^{-1} \end{aligned} \quad \left(\rho = \frac{r}{a_2} \leq 1\right)$$

$$\begin{aligned} \psi_{1,0} = & 1 + 0.0956\delta_1^3 - 0.0309\delta_1^5 + 0.0091\delta_1^6 + 0.0084\delta_1^7 - 0.0029\delta_1^8 - 0.4227\beta_1\delta_1^3\delta_2^5 \\ \psi_{1,2} = & -0.0515\delta_1^5 + 0.0392\delta_1^7 - 0.0016\delta_1^8, \quad \psi_{1,4} = 0.0196\delta_1^7 \\ \psi_{2,0} = & \delta_2 (0.8392\delta_1^3 - 1.696\delta_1^5 + 0.0802\delta_1^6 + 2.546\delta_1^7), \\ \psi_{2,2} = & \delta_2^3 (-1.696\delta_1^3 + 7.129\delta_1^5). \end{aligned}$$

$$\psi_{2,4} = 2.546\delta_1^3\delta_2^5, \quad V_{p,q}(x) = S_{p,q}(x, -1, 1), \quad V_{p,q}\left(x, \frac{1}{2}\right) = S_{p,q}\left(x, -1, \frac{1}{2}\right)$$

Если $\beta_1=1$ ($\mu_2=0$), приходим к решению задачи о кручении упругого слоя, спаянного по нижнему основанию с жестким полупространством, имеющим цилиндрическую круговую полость.

4. Задача C. Соответствующая система Фредгольмовских уравнений имеет вид

$$(4.1) \quad \Phi_i(x) + \sum_{j=1}^2 \int_0^{a_j} M_{ij}(x, t) \Phi_j(t) dt = (-1)^i \frac{4}{\pi} \varepsilon_i \mu_i x \quad (0 \leq x \leq a_i) \quad (i=1, 2)$$

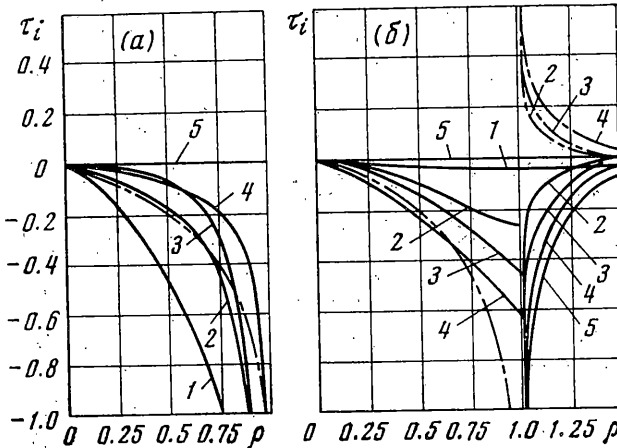
$$M_{ij}(x, t) = \frac{4}{\pi} [(-1)^{i+j} \beta_1 - \delta_{ij} \beta_2] \int_0^\infty \frac{\exp[-(1+\delta_{ij})ph]}{1 - \beta \exp(-2ph)} \sin px \sin pt dp$$

Контактные напряжения $\tau_{\theta z}$ под штампом и в плоскости сопряжения слоя с полупространством получим по формулам

$$\tau_{\theta z}^{(1)}(\rho, 0) = -\frac{4\mu_1 \rho}{\pi \sqrt{1-\rho^2}} \sum_{i=1}^2 \varepsilon_i \left[\Phi_{1,i}^{(i)} - (1-2\rho^2) \Phi_{1,3}^{(i)} - \frac{1}{3} (1+4\rho^2-8\rho^4) \Phi_{1,5}^{(i)} \right] \quad \left(\rho = \frac{r}{a_1} < 1\right)$$

$$\begin{aligned} \tau_{\theta z}^{(i)}(\rho, h) = & \frac{(-1)^{i+1} 4\mu_1 \rho}{\pi \sqrt{1-\rho^2}} H(1-\rho) \sum_{j=1}^2 \varepsilon_j \left[\Phi_{2,j}^{(j)} - (1-2\rho^2) \Phi_{2,3}^{(j)} - \right. \\ & - \frac{1}{3} (1+4\rho^2-8\rho^4) \Phi_{2,5}^{(j)} \Big] - \frac{8}{\pi} \mu_1 \beta_2 \rho \left\{ \varepsilon_1 \left[\left(\delta_1^3 \delta_2 - \frac{\sigma(3)}{3\pi} \beta_1 \delta_1^6 \delta_2 \right) W_{5,1} \left(y_2, \frac{1}{2} \right) \right. \right. \\ & - \frac{\sigma(3, 1/2)}{3\pi} \beta_1 \delta_1^3 \delta_2^4 W_{5,1}(y_2) - 3.33 \delta_1^5 \delta_2 W_{9,3} \left(y_2, \frac{1}{2} \right) \Big] + \\ & + \varepsilon_2 \left[\left(\delta_2^4 - \frac{\sigma(3)}{3\pi} \beta_1 \delta_2^7 \right) W_{5,1}(y_2) - \frac{\sigma(3, 1/2)}{3\pi} \delta_1^3 \delta_2^4 W_{5,1} \left(y_2, \frac{1}{2} \right) \right. \\ & \left. \left. - 3.33 \delta_2^6 W_{9,3}(y_2) \right] \right\} \quad \left(\rho = \frac{r}{a_2} \geq 0\right) \quad (i=1, 2) \end{aligned}$$

$$\begin{aligned}\Phi_{1,1}^{(1)} &= 1 - \frac{\sigma(3)}{3\pi} \beta \delta_1^3 + \frac{\sigma(5)}{10\pi} \beta \delta_1^5 + \left[\frac{\sigma(3)}{3\pi} \beta \right]^2 \delta_1^6 + \left[\frac{\sigma(3, 1/2)}{3\pi} \right]^2 \beta \delta_1^3 \delta_2^3 - \frac{3\sigma(7)}{112\pi} \beta \delta_1^7 \\ \Phi_{1,3}^{(1)} &= \frac{\sigma(5)}{6\pi} \beta \delta_1^5 - \frac{\sigma(7)}{8\pi} \beta \delta_1^7, \quad \Phi_{1,5}^{(1)} = -\frac{\sigma(7)}{16\pi} \beta \delta_1^7 \\ \Phi_{1,1}^{(2)} &= -\frac{\sigma(3, 1/2)}{3\pi} \delta_2^3 + \frac{\sigma(5, 1/2)}{10\pi} \delta_2^5 + \frac{\sigma(3) \sigma(3, 1/2)}{9\pi^2} (\beta \delta_2^3 \delta_1^3 + \delta_2^6 \beta_1) - \frac{3\sigma(7, 1/2)}{112\pi} \delta_2^7 \\ \Phi_{1,3}^{(2)} &= \frac{\sigma(5, 1/2)}{6\pi} \delta_1^2 \delta_2^3 - \frac{\sigma(7, 1/2)}{8\pi} \delta_1^2 \delta_2^5, \quad \Phi_{1,5}^{(2)} = -\frac{\sigma(7, 1/2)}{16\pi} \delta_1^4 \delta_2^3\end{aligned}$$



Фиг. 2

$$\begin{aligned}\Phi_{2,1}^{(1)} &= -\frac{\sigma(3, 1/2)}{3\pi} \beta_1 \delta_1^3 + \frac{\sigma(5, 1/2)}{10\pi} \delta_1^5 \beta_1 + \frac{\sigma(3) \sigma(3, 1/2)}{9\pi^2} \beta_1 (\beta \delta_1^6 + \beta_1 \delta_1^3 \delta_2^3) - \frac{3\sigma(7, 1/2)}{112\pi} \beta_1 \delta_1^7 \\ \Phi_{2,3}^{(1)} &= \frac{\sigma(5, 1/2)}{6\pi} \beta_1 \delta_1^3 \delta_2^2 - \frac{\sigma(7, 1/2)}{8\pi} \beta_1 \delta_1^5 \delta_2^2, \quad \Phi_{2,5}^{(1)} = -\frac{\sigma(7, 1/2)}{16\pi} \beta_1 \delta_1^3 \delta_2^4 \\ \Phi_{2,1}^{(2)} &= 1 - \frac{\sigma(3)}{3\pi} \beta_1 \delta_2^3 + \frac{\sigma(5)}{10\pi} \beta_1 \delta_2^5 + \left[\frac{\sigma(3)}{3\pi} \beta_1 \right]^2 \delta_2^6 + \left[\frac{\sigma(3, 1/2)}{3\pi} \right]^2 \beta_1 \delta_1^3 \delta_2^3 - \frac{3\sigma(7)}{112\pi} \delta_2^7 \beta_1 \\ \Phi_{2,3}^{(2)} &= \frac{\sigma(5)}{6\pi} \beta_1 \delta_2^5 - \frac{\sigma(7)}{8\pi} \beta_1 \delta_2^7, \quad \Phi_{2,5}^{(2)} = -\frac{\sigma(7)}{16\pi} \beta_1 \delta_2^7\end{aligned}$$

$$\sigma(x) = \sum_{n=1}^{\infty} \frac{\beta^{n-1}}{n^x}, \quad \sigma(x, 1/2) = \sum_{n=0}^{\infty} \frac{\beta^n}{(n+1/2)^x}, \quad H(x) = \begin{cases} 1 & (x > 0) \\ 0 & (x \leq 0) \end{cases}$$

$$W_{p,q}(x) = S_{p,q}(x, \beta, 1), \quad W_{p,q}(x, 1/2) = S_{p,q}(x, \beta, 1/2)$$

Углы поворота ε_1 и ε_2 связаны с моментами кручения M_1 и M_2 соотношением

$$M_i = 16(\mu_1 + \delta_{i2}\mu_2) a_i^3 \sum_{m=1,3,5} \sum_{j=1}^2 \varepsilon_j \frac{\Phi_{i,m}^{(j)}}{m+2} \quad (i=1, 2)$$

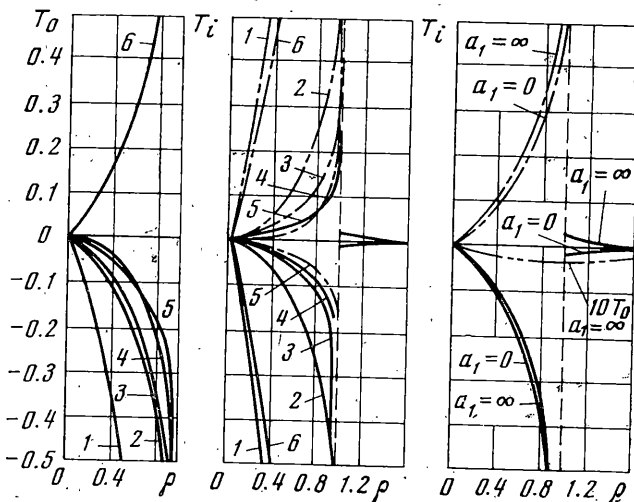
Параметры δ_1 и δ_2 удовлетворяют неравенству

$$(4.2) \quad 0 \leq B < 1$$

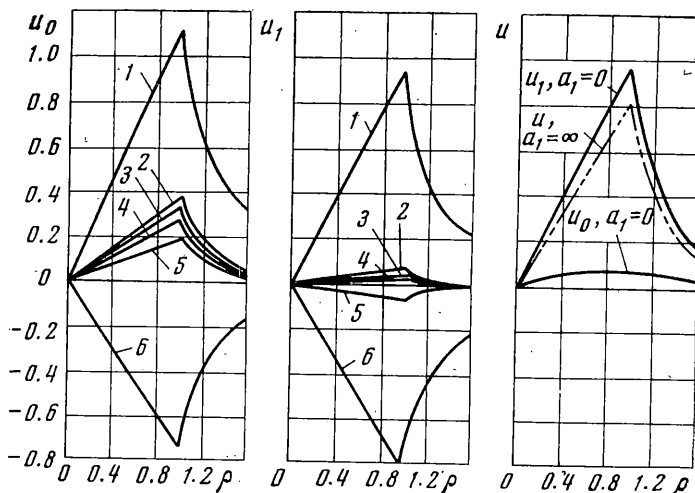
$$B = \pi^{-1} \{ [\beta^2 \sigma^2(3) + \beta_1^2 \sigma^2(3, 1/2)] \delta_1^6 + [\beta_1^2 \sigma^2(3) + \sigma^2(3, 1/2)] \delta_2^6 \}^{1/2}$$

Выражения для перемещений, ввиду их некоторой громоздкости, здесь не приводятся.

В частных случаях, а именно, при $a_2=0$, получаем известные результаты [1], при $\mu_2=0$ — задачу Я. С. Уфлянда [17]. Из данного решения



Фиг. 3



Фиг. 4

можно получить задачу о кручении бесконечного двухслойного упругого пространства с помощью поворота внутренней жесткой шайбы, размещенной в плоскости сопряжения материалов, и задачу о кручении внутренней шайбой двухслойной упругой среды, поверхность которой свободна от внешних усилий или жестко защемлена.

Задачи А, В и С переходят в задачу Рейсснера – Сагоци [18] при $\delta_1 = \delta_2 = 0$ ($h \rightarrow \infty$).

5. Сравнивая результаты решения задач А и В, можно заметить, что на распределение напряжений и перемещений в плоскости $z=0$ большее влияние оказывает щель по сравнению с жестким включением. Подсчеты показывают, что на контактные напряжения под штампом в обоих случаях влияние неоднородности упругой среды, щели и включения при $\delta_1 \leq 0.2$ (δ_2 удовлетворяет условиям (2.5) или (3.2)) пренебрежимо мало, причем погрешность решения уменьшается с увеличением δ_2 . При некоторых соотношениях между параметрами δ_1 и δ_2 коэффициент интенсивности касательных напряжений в плоскости сопряжения материалов k_2 может превышать коэффициент интенсивности контактных напряжений под штампом k_1 в случае задачи А

$$k_1 = \sum_{m=1,3,5} \varphi_{1,m}, \quad k_2 = \beta_2 \sum_{m=1,3,5} \varphi_{2,m}$$

и составлять более половины этого же коэффициента в случае задачи В

$$k_1 = \sum_{m=0,2,4} \psi_{1,m}, \quad k_2 = \beta_1 \sum_{m=0,2,4} \psi_{2,m}$$

Графики распределения напряжений $\tau_i = \tau_{\theta z}^{(i)}(\rho, h)/M$ ($i=1,2$) приведены на фиг. 2: $\delta_1=1.0$, $\delta_2=0.05$ (фиг. 2, а); $\delta_1=0.8$, $\delta_2=0.4$ (фиг. 2, б). Штрихпунктирной линией изображены кривые для $\tau_{\theta z}(\rho, 0)/M$ при $\rho < 1$ и для τ_2 при $\rho > 1$. Цифры 1, 2, 3, 4, 5 указывают значения параметра $\beta_1=0, 0.3, 0.5, 0.8, 1$.

На фиг. 3 и 4 для случая задачи С приведены графики зависимости $T_0 = a^3 \tau_{\theta z}(\rho, 0)/M_1$, $T_i = a^3 \tau_{\theta z}^{(i)}(\rho, h)/M_1$ ($i=1, 2$), $\dot{U}_0 = a^2 u(\rho, 0)/\mu M_1$, $\dot{U}_1 = a^2 u(\rho, h)/\mu M_1$ от числа $\eta = M_2/M_1$ при $\delta_1 = \delta_2 = a/h = 0.6$, $\mu_1 = \mu_2 = \mu$. Последовательность цифр 1, 2, 3, 4, 5, 6 соответствует значениям параметра $\eta = 10, 1.0, 0.4, -0.4, -1.0, -10$. В случаях когда $a_1=0$ или $a_1=\infty$, значение M_1 в T_0 , T_i , \dot{U}_0 , \dot{U}_1 следует заменить на $M=M_2$. Сплошными линиями обозначены кривые для T_1 , а штрихпунктирными – кривые для T_2 .

Поступила 23 IV 1973

ЛИТЕРАТУРА

- Грилицкий Д. В. Кручение двухслойной упругой среды. Прикл. механ., 1961, т. 7, вып. 1.
- Westmann R. A. Layered systems subjected to surface shears. J. Engng Mech. Div., Proc. Amer. Soc. Civil Engrs., 1963, vol. 86, pt. 1, No. 6.
- Александров В. М., Сметанин Б. И., Соловьев А. С. Эффективные методы решения сложных смешанных задач теории упругости, связанных с вопросами концентрации напряжений. В сб.: Концентрация напряжений, вып. 3. Киев, «Наукова думка», 1971.
- Проценко В. С. Кручение упругого полупространства, ослабленного плоской круглой щелью. Изв. АН СССР. МТТ, 1969, № 6.
- Салганик Р. Л. Об осесимметричных трещинах продольного сдвига, ПМТФ, 1962, № 3.
- Смелянская Л. М., Токарь А. С. Прочность составного упругого слоя, ослабленного плоской круглой щелью. Прикл. механ., 1971, т. 7, вып. 10.
- Уфлянд Я. С. Некоторые задачи о кручении упругих тел, ослабленных соосными круговыми щелями. В сб.: Концентрация напряжений, вып. 3. Киев, «Наукова думка», 1971.
- Collins W. D. Some axially symmetric stress distributions in elastic solids containing penny-shaped cracks. II. Cracks in solids under torsion. Mathematika, 1962, vol. 9, pt. 1, No. 17.
- Руховец А. Н., Уфлянд Я. С. Смешанные задачи о кручении упругого полупространства со сферическим включением. ПММ, 1968, т. 32, вып. 1.
- Das S. C. On the effect of a rigid spherical inclusion in a semi-infinite elastic solid under stresses produced by a couple on the plane boundary. Z. angew. Math. und Mech., 1956, Bd. 36, N 1–2.

11. *Nariboli G. A.* Effect of rigid inclusions and cavities in a large body under torsion. *Appl. Sci. Res., Sec. A*, 1963, vol. 11, No. 4-6.
12. *Арутюнян Н. Х., Абрамян Б. Л.* Кручение упругих тел. М., Физматгиз, 1963.
13. *Снедdon I.* Преобразования Фурье. М., Изд-во иностр. лит., 1955.
14. *Уфлянд Я. С.* Интегральные преобразования в задачах теории упругости. Л., «Наука», 1967.
15. *Забрейко П. П., Кошелев А. И., Красносельский М. А. и др.* Интегральные уравнения. М., «Наука», 1968.
16. *Бейтмен Г., Эрдейй А.* Высшие трансцендентные функции. М., «Наука», 1966.
17. *Уфлянд Я. С.* Кручение упругого слоя двумя штампами. Докл. АН СССР, 1969, т. 186, № 5.
18. *Reissner E., Sagoci H. F.* Forced torsional oscillations of an elastic half-space. I. *J. Appl. Phys.*, 1944, vol. 15, No. 9.